

ФИЗИКА ТВЕРДОГО ТЕЛА

УДК 548.4

ДЕФЕКТНО-ДЕФОРМАЦИОННАЯ ТЕОРИЯ ОБРАЗОВАНИЯ СУБГРАНИЦ ПРИ КРИСТАЛЛИЗАЦИИ ПОЛУПРОВОДНИКОВЫХ ПЛЕНОК

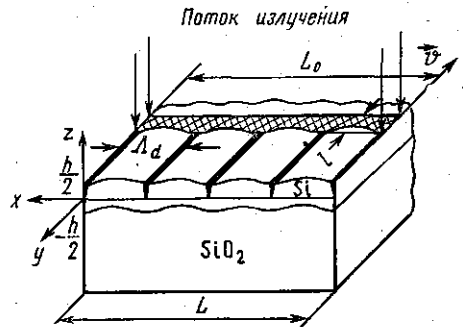
В. И. Емельянов, А. А. Сумбатов

(кафедра общей физики и волновых процессов;
Институт кристаллографии АН СССР)

Предложен новый (дефектно-деформационный) механизм образования субгранниц при лазерной перекристаллизации полупроводниковых пленок. На его основе развита теория, дающая явное аналитическое выражение для расстояния между субгранницами как функции толщины пленки и скорости движения зоны расплава. Полученные теоретические результаты хорошо согласуются с экспериментальными фактами.

1. Введение

Проблема образования субгранниц при лучевой перекристаллизации аморфных и поликристаллических пленок полупроводников на изоляторах представляет большой практический и научный интерес (см. обзоры [1, 2]). В процессе перекристаллизации полоска расплава шириной l и длиной L_0 , создаваемая внешним потоком энергии (лазерным лучом, полосковым графитовым нагревателем и т. д.), движется вдоль пленки Si толщиной h со скоростью сканирования v (рисунок). При этом после прохождения зоны расплава в пленке образуются монокристаллические полосы, вытянутые вдоль направления сканирования и разделенные субгранницами. В направлении, перпендикулярном v , они образуют квазипериодическую структуру с периодом



Геометрия образования квазипериодических субгранниц при лучевой перекристаллизации пленки Si на аморфной подложке SiO₂. Расстояние между субгранницами равно Λ_d

d (см. рисунок). Экспериментальные исследования этого эффекта выявили следующие основные закономерности. Субгранницы представляют собой скопления дислокаций, вытянутые вдоль направления сканирования [3, 4]. Среднее расстояние между субгранницами $\Lambda_d \sim h$ [3] и в режиме достаточно высоких скоростей ($|v| > 0,1$ мм/с) $\Lambda_d \sim \sqrt{|v|}$ [3]. Рельеф поверхности перекристаллизованной пленки с субгранницами периодически модулирован в направлении, перпендикулярном v (см. рисунок) с периодом того же порядка, что и Λ_d [4]. Фронт кристаллизации имеет пилообразную форму, причем субгранницы исходят из впадин фронта [3, 5].

Для объяснения тех или иных закономерностей данного эффекта был предложен ряд теоретических моделей [1, 2]. Однако, на наш взгляд, отсутствует модель, с единой точки зрения объясняющая перечисленные выше экспериментальные факты и дающая количественное согласие с экспериментом (в частности, по зависимости $\Lambda_d = \Lambda_d(|v|, h)$).

В настоящей работе предлагается новый дефектно-деформационный (ДД) механизм образования субграниц при лучевой перекристаллизации пленок, на его основе построена теория, выводы которой находятся в соответствии с перечисленными выше экспериментальными результатами.

Физическая суть предлагаемого механизма состоит в следующем. Мы будем предполагать, что после отвердевания расплава в пленке имеется большое количество точечных дефектов с концентрацией n_d (вакансий ($d=v$) или междоузлий ($d=i$)) [6]. Если плотность n_d превышает определенное критическое значение n_{dcr} , то пространственно-однородное распределение дефектов становится неустойчивым и образуется одномерная решетка скоплений дефектов с одновременным самосогласованным возникновением синфазной решетки изгибных деформаций пленки [7, 8]. На следующем этапе при превышении второго критического значения концентрации дефектов n_{dcr} кластеры дефектов вследствие диффузионно-деформационной неустойчивости коллапсируют в дислокационные петли [9, 10]. Таким образом, в результате образуются периодические скопления дислокаций, которые в данном ДД-механизме и соответствуют субграницам. Ниже мы построим теорию первого этапа образования субграниц по ДД-механизму и покажем соответствие ее результатов экспериментальным результатам.

2. Связанная система уравнений для изгибных деформаций пленки и концентрации дефектов

Экспериментально обычно используются многослойные структуры, к примеру структура $\text{SiO}_2\text{—Si—SiO}_2$. Мы, однако, рассмотрим основные черты ДД-механизма на примере упрощенной модели — свободной пленки Si. Направим ось z перпендикулярно плоскости пленки, плоскость $z=0$ совпадает со срединной плоскостью пленки, ось x направим перпендикулярно v (см. рисунок). Плотность энергии взаимодействия дефектов с упругим континуумом определяется выражением [11]

$$H = -n\Theta_d \operatorname{div} \mathbf{u}, \quad \Theta_d = Ka^3 \operatorname{sgn} d, \quad (1)$$

где \mathbf{u} — вектор смещения среды, $\operatorname{sgn} d = \{1, d=i, -1, d=v\}$, K — модуль упругости, a — параметр ячейки. В направлении скорости сканирования существуют большие температурные градиенты. Они приводят к сильному потокам дефектов в этом направлении, препятствующим процессу их периодического перераспределения. Таким образом, решетка дефектов формируется только в направлении оси x . С учетом (1) уравнение для n_d запишем в виде

$$\partial n_d / \partial t = D_d \Delta n_d - n_d / \tau_d - n_d \Theta_d (D_d \operatorname{div} \mathbf{u}) / k_B T, \quad (2)$$

где D_d и τ_d — соответственно коэффициент диффузии и время жизни дефектов, T — температура, k_B — постоянная Больцмана. Последний член в (2) описывает деформационно-индуцированный дрейф дефектов.

При изгибной деформации пленки [12]

$$\operatorname{div} \mathbf{u} = -z\nu\partial^2\zeta/\partial x^2, \quad (3)$$

где $\zeta = \zeta(x)$ — смещение точек срединной плоскости вдоль z (координата изгиба), $\nu = (1-2\sigma)/(1-\sigma)$, где σ — коэффициент Пуассона.

Нелинейное уравнение для изгибной координаты ζ можно получить из [12, 13], учитывая, что со стороны подсистемы вакансий действует, как следует из (1), сила, изгибающая пленку:

$$\frac{\partial^2\zeta}{\partial t^2} + \frac{c^2h^2}{12} \frac{\partial^4\zeta}{\partial x^4} - \frac{c^2}{2} \frac{\partial^2\zeta}{\partial x^2} \left(\frac{\partial\zeta}{\partial x} \right)^2 \Big|_{z=0} = \frac{\Theta_d}{\rho h} \int_{-h/2}^{h/2} (\nabla n_d)_z dz, \quad (4)$$

где $c^2 = E/(1-\sigma^2)\rho$, E — модуль Юнга, ρ — плотность среды.

3. Неустойчивость пространственно-однородного вдоль поверхности распределения дефектов и образование квазипериодических дефектно-деформационных (изгибных) решеток

Предположим, что благодаря неоднородному по оси z распределению деформаций в пленке Si (структура $\text{SiO}_2\text{—Si—SiO}_2$) устанавливается неравномерное по z распределение дефектов. При этом $n_d(h/2) \gg n_d(-h/2)$, так что в правой части уравнения (4) можно пренебречь $n_d(-h/2)$ по сравнению с $n_d(h/2)$. Представим далее переменные задачи в виде $n_d = n_{d0} + n_{d1}$, $\zeta = \zeta_0 + \zeta_1$, $\mathbf{u} = \mathbf{u}_0 + \mathbf{u}_1$, где n_{d0} , ζ_0 , \mathbf{u}_0 — решения, пространственно-однородные вдоль поверхности, а $n_{d1} \equiv n_{d1}(h/2)$, ζ_1 , \mathbf{u}_1 — пространственно неоднородные, причем

$$\zeta_1 = N^{-1} \sum_q \zeta_q(t) \exp(iqx) + \text{к. с.}, \quad (5)$$

$$n_{d1} = N^{-1} \sum_q n_{dq}(t) \exp(iqx) + \text{к. с.},$$

где $N = L/(2\pi h)$, L — размер пленки в направлении x . Тогда для n_{d1} , ζ_1 имеем из (2) — (4) уравнения

$$\frac{\partial n_{d1}}{\partial t} = D_d \frac{\partial^2 n_{d1}}{\partial x^2} - \frac{n_{d1}}{\tau_d} + \frac{n_{d0}\Theta_d h \nu D_d}{2k_B T} \frac{\partial^4 \zeta_1}{\partial x^4}, \quad (6)$$

$$\frac{\partial^2 \zeta_1}{\partial t^2} + \frac{c^2 h^2}{12} \frac{\partial^4 \zeta_1}{\partial x^4} - \frac{c^2}{2} \frac{\partial^2 \zeta_1}{\partial x^2} \left(\frac{\partial \zeta_1}{\partial x} \right)^2 = \frac{\Theta_d n_{d1}}{\rho h}. \quad (7)$$

Уравнения (6), (7) составляют замкнутую систему уравнений для описания спонтанного образования дефектно-деформационных (изгибных) структур в пленке.

а) Линейный режим неустойчивости

Положив в (5) $\zeta_d(t) = \zeta_d \exp(\lambda t)$, $n_{dq}(t) = n_{dq} \exp\{\lambda t\}$ и пренебрегая нелинейностью в (7), получаем при условии $\lambda^2 \ll q^4 c^2 h^2 / 12$ дисперсионное соотношение для инкремента λ :

$$\lambda = \lambda(q) = R_d - D_d q^2 - \tau_d^{-1}, \quad (8)$$

где параметр, управляющий неустойчивостью,

$$R_d = 6\Theta_d^2 \nu n_{d0} D_d / (\rho c^2 k_B T h^2).$$

Таким образом, каждому значению волнового числа q соответствует критическое значение $R_{dcr} = R_{dcr}(q)$ такое, что при $R_d > R_{dcr}$ имеем $\lambda(q) > 0$, т. е. начинается экспоненциальное во времени нарастание фурье-амплитуд связанных полей изгибной деформации и концентрации дефектов. Для возникновения неустойчивости необходимо, чтобы $R_d > \tau_d$, т. е. концентрация дефектов должна превысить критическое значение

$$n_{dcr} = \rho c^2 k_B T h^2 / (6 \Theta_d^2 v D_d \tau_d). \quad (9)$$

б) Нелинейный стационарный режим: образование квазипериодических дефектно-деформационных (изгибных) решеток.

Стабилизация системы происходит вследствие нелинейности изгибных деформаций. В стационарном режиме ($\partial n_{d1} / \partial t = 0$, $\partial^2 \zeta_1 / \partial t^2 = 0$) из (6), (7) и (5), где $\zeta_q(t) = \zeta_q = \text{const}$, $n_{dq}(t) = n_{dq} = \text{const}$, имеем выражение для стационарной фурье-амплитуды волны изгибной деформации пленки:

$$\zeta_q = (h/\sqrt{6}) [R_d / (D_d q^2 + \tau_d^{-1}) - 1]^{1/2} \quad (10)$$

и выражение для фурье-амплитуды волны концентрации дефектов:

$$n_{dq} = R_d \rho c^2 h^3 q^4 \zeta_d / [12 \Theta_d (D_d q^2 + \tau_d^{-1})]. \quad (11)$$

Результирующие поля изгибной деформации и концентрации дефектов получаем из (5), (10), (11) суммированием по q , где $0 \leq q \leq q_d \equiv [(R_d - \tau_d^{-1}) / D_d]^{1/2}$. Ограничиваясь далее случаем слабого превышения над порогом неустойчивости ($0 < R_d - \tau_d^{-1} \leq \tau_d^{-1}$), получаем для результирующего поля изгибной деформации

$$\zeta_1(x) = \frac{h^2}{\sqrt{6}} \left(\frac{n_{d0}}{n_{dcr}} - 1 \right)^{1/2} \frac{\sin q_d x}{x}. \quad (12)$$

Для поля концентрации дефектов имеем

$$n_{d1}(x) = (\text{sgn } d) G q_d^3 \frac{\sin q_d x}{x}, \quad (13)$$

где

$$G = R_d c^2 h^5 \rho q_d \frac{(n_{d0} / n_{dcr} - 1)^{1/2}}{12 \sqrt{6} |\Theta_d| \tau_d^{-1}}. \quad (14)$$

Как видно из (12) — (14), период образующихся решеток изгибной деформации и концентрации дефектов равен

$$\Lambda_d = \frac{2\pi}{q_d} = 2\pi (D_d \tau_d)^{1/2} \left(\frac{n_{d0}}{n_{dcr}} - 1 \right)^{-1/2}. \quad (15)$$

Таким образом, в пленке образуются квазипериодические связанные волновые пакеты изгибной деформации и концентрации дефектов. Процесс образования этих структур представляет собой фазовый переход второго рода, имеющий место, когда управляющий параметр n_{d0} превышает критическое значение n_{dcr} .

4. Образование квазипериодических субграниц. Сравнение теории с экспериментом

Как показано в [9, 10], скопления точечных дефектов неустойчивы и могут переходить в локализованное состояние с одновременным возникновением локальной деформации (сжатие в случае вакансий и растяжение в случае междоузлий). При определенных условиях такой локализованный кластер коллапсирует в дислокационную петлю (см. [9]). Если эти процессы спонтанной деформационно-индуцированной генерации дислокаций происходят в пространственно-периодических кластерах дефектов, описываемых формулой (13), то в результате получаются периодические скопления дислокаций (т. е. субграницы) с периодом (15).

Проведем сравнение результатов данной теории с экспериментальными данными. Рассмотрим сначала общий вид пленки с субграницами, который получается в результате развития рассмотренной здесь неустойчивости. Мы получили пространственные квазилокализованные волновые пакеты статической изгибной деформации и концентрации дефектов, осциллирующие вдоль оси x с периодом Λ_d и не зависящие от y . Размер области локализации одного пакета вдоль x порядка нескольких $\Lambda_d \ll L$. В общем случае вдоль оси x возникает много таких пакетов, образующих картину квазипериодических субграниц с тем же периодом и с модуляцией рельефа поверхности (см. рисунок). Эта картина соответствует экспериментально наблюдаемой [4]. При этом, как следует из (12) — (14), субграницы, соответствующие максимумам $n_{d1}(x)$, располагаются в случае вакансионного механизма во впадинах рельефа ($\min \xi_1(x)$), т. е. в областях сжатия среды. Известно, что в области сжатия температура плавления кремния снижается [14], поэтому фронт кристаллизации поверхности пленки должен быть изрезан, причем впадины фронта совпадают с впадинами рельефа, т. е. с положением субграниц (см. рисунок), что действительно наблюдается экспериментально [15].

Обсудим вопрос о пространственной периодичности субграниц. Из (15) при $n_{d0} \gg n_{acr}$ имеем для расстояния между субграницами в случае генерации вакансий

$$\Lambda_p = \pi \sqrt{2} (1 + \sigma)^{-1/2} h (n/n_{v0})^{1/2} (k_B T / \Theta_v)^{1/2}, \quad (16)$$

где $n = 1/a^3$.

Для определения n_{v0} заметим, что в реальных условиях экспериментов [1, 2] время существования расплава в данной точке равно $\tau = l/|\mathbf{v}|$ (считаем, что локальное плавление и отвердевание с приходом и уходом луча происходит мгновенно). За время τ концентрация генерируемых вакансий достигает значения $n_{v0} = g_v \tau = g_v l / |\mathbf{v}|$, где $g_v = g_v(T)$ — скорость порождения вакансий в расплаве. Мы предполагаем, что в жидкой фазе стоки отсутствуют и вакансии не достигают границ пленки за время τ , так как диффузия подавлена из-за высокого давления, возникающего в многослойной структуре SiO_2 (твердый) — Si (жидкий) — SiO_2 (твердый). С учетом этого из (16) имеем

$$\Lambda_p = \text{const} \sqrt{|\mathbf{v}|} \cdot h, \quad (17)$$

где $\text{const} = \pi \sqrt{2} (1 + \sigma)^{-1/2} (n/g_v l)^{1/2} (k_B T / \Theta_v)^{1/2}$ и для интересующих нас значений $|\mathbf{v}|$ полагаем $\partial T / \partial |\mathbf{v}| = 0$ [16].

Таким образом, данная теория объясняет две основные экспериментальные зависимости расстояния между субграницами $\Lambda_{\text{exp}} \sim h$ [3]

и $\Lambda_{v \text{ exp}} \sim \sqrt{|v|}$ [3]. Покажем, что эта формула может давать также и количественное согласие с экспериментами [3]. При $T=1,4 \cdot 10^3 \text{ K}$, $\Theta = Ka^3 = 5 \cdot 10^{-12} \text{ эрг}$ ($K=5 \cdot 10^{11} \text{ эрг} \cdot \text{см}^{-3}$, $n^{-1}=a^3=10^{-22} \text{ см}^3$), $h=h_{\text{exp}}=10^{-4} \text{ см}$ [3] и $\Lambda_v = \Lambda_{v \text{ exp}} = 2 \cdot 10^{-3} \text{ см}$ [3] имеем из (16) $n/n_{v0} = n|v|/g_v l = 3 \cdot 10^3$. Используя значения $|v|=|v|_{\text{exp}}=0,1 \text{ мм} \cdot \text{с}^{-1}$, $l=l_{\text{exp}}=1 \text{ мм}$, отсюда имеем оценку скорости генерации вакансий $g_v = 3 \cdot 10^{17} \text{ см}^{-3} \cdot \text{с}^{-1}$. Тогда из (17) при $h=5 \cdot 10^{-5} \text{ см}$ получаем зависимость $\Lambda_v = 3 \cdot 10^{-3} \sqrt{|v|}$, где $|v|=\text{мм/с}$. Эта кривая хорошо воспроизводит экспериментальную зависимость [3].

Оценим возможность выполнения условия $n_{v0} \gg n_{\text{ср}}$, использованного выше. Из (15) имеем, что оно эквивалентно условию $(D_v \tau)^{1/2} \gg \Lambda/2\pi$ или для $\tau = h^2/D_z$, где D_z — коэффициент диффузии вдоль оси z , сводится к условию $(D_v/D_z)^{1/2} \gg \Lambda/(2\pi h)$. Это неравенство выполнено для экспериментальных значений Λ_{exp} , h_{exp} [3], если $D_v \gg D_z$.

Таким образом, предложенный впервые в настоящей работе дефектно-деформационный механизм образования субграниц при лучевой зонной перекристаллизации полупроводниковых пленок может при разумных предположениях объяснить основные экспериментальные результаты. В этом механизме субграницы возникают в результате неустойчивости и соответствующего фазового перехода второго рода при превышении определенного критического значения плотности дефектов.

ЛИТЕРАТУРА

- [1] Smith H. I. // *J. Cryst. Growth*, 1983, 63, N 3. [2] Givargizov E. I., Limanov A. B. // *Microelectr.* 1988, 8, P. 273. [3] Geis M. W., Smith H. I., Tsaur B. Y. et al. // *J. Electrochem. Soc.* 1982, 129, N 12, P. 2812. [4] Geis M. W., Chen G. K., Smith H. I. et al. // *Mat. Res. Soc. Symp. Proc.* 1985, 35, P. 575. [5] Geis M. W., Smith H. I., Silversmith D. J. et al. // *J. Electrochem. Soc.* 1983, 130, N 5, P. 1178. [6] Bolling G. F., Fainstein D. // *Phil. Mag.* 1972, 25, N 1, P. 45. [7] Емельянов В. И. // Труды IV Междунар. симп. по избранным проблемам статистической механики (Дубна, апрель 1988). Дубна, 1988. С. 128. [8] Емельянов В. И., Уварова И. Ф. // *Металлофизика*, 1989, 11, № 5, С. 101. [9] Емельянов В. И., Володин Б. Л. // *Квант. электроника*, 1990, 17, № 5, С. 648. [10] Алиева М. А., Емельянов В. И., Мирзоев Ф. Х., Шелепин Л. А. // *Кр. сообщ. по физике ФИАН СССР*, 1988, 10, С. 43. [11] Косевич А. М. *Физическая механика реальных кристаллов*. Киев, 1981. [12] Ландау Л. Д., Лифшиц Е. М. *Теория упругости*. М., 1987. [13] Тимошенко С. П., Войновский-Кригер С. *Пластинки и оболочки*. М., 1966. [14] Landolt-Bornstein. Berlin: Springer Verlag, 1980. V. 4. P. 49. [15] Geis M. W., Smith H. I., Chen C. K. // *J. Appl. Phys.* 1986, 60, P. 1152. [16] Cline H. E. // *J. Appl. Phys.* 1983, 54, N 5, P. 2683.

Поступила в редакцию
17.04.90